

И. В. Украинец, А. А. Ткач, Л. А. Гриневич

4-ГИДРОКСИХИНОЛОНЫ-2

148*. СИНТЕЗ И ПРОТИВОТУБЕРКУЛЕЗНАЯ АКТИВНОСТЬ N-R-АМИДОВ 1-ГИДРОКСИ-3-ОКСО-6,7-ДИГИДРО-3Н,5Н-ПИРИДО-[3,2,1-ij]ХИНОЛИН-2-КАРБОНОВОЙ КИСЛОТЫ

Предложен улучшенный метод получения этилового эфира 1-гидрокси-3-оксо-6,7-дигидро-3Н,5Н-пирито[3,2,1-ij]хинолин-2-карбоновой кислоты, на основе которого осуществлен синтез серии гетариламидов. Проведен сравнительный анализ противотуберкулезных свойств синтезированных соединений с активностью изученных ранее структурных аналогов – 4-гидрокси-2-оксо-1,2-дигидрохинолин-3- и 1-гидрокси-3-оксо-5,6-дигидро-3Н-пирроло[3,2,1-ij]хинолин-2-карбоксамидов.

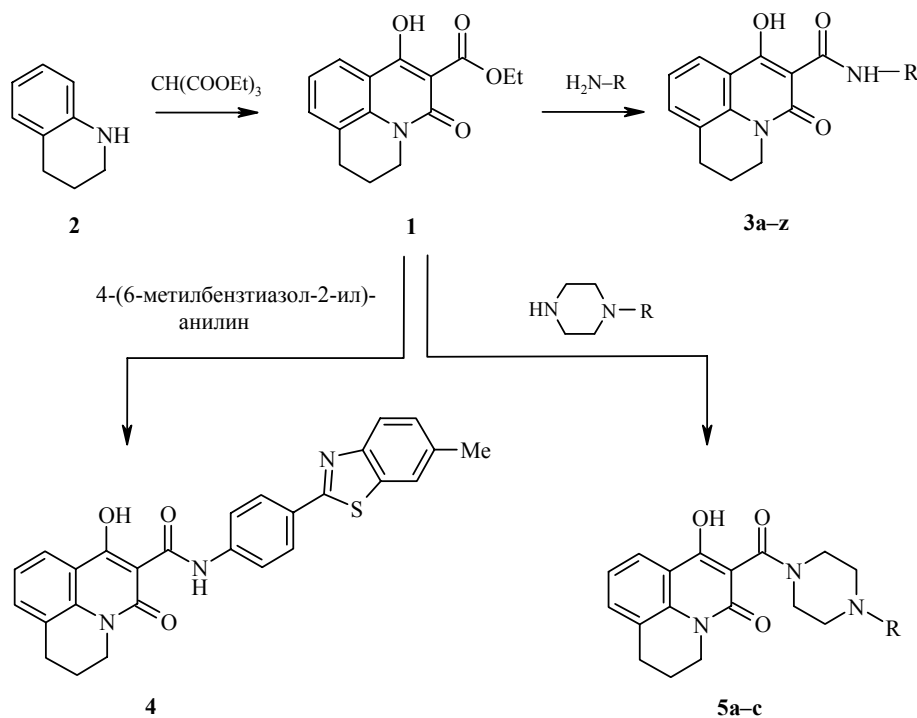
Ключевые слова: гетариламиды, 4-гидрокси-2-оксохинолин-3-карбоновые кислоты, амидирование, противотуберкулезная активность, РСА.

Главной проблемой в лечении туберкулеза является быстрое развитие устойчивости возбудителя этого опасного инфекционного заболевания к антимикобактериальным препаратам [2, 3]. Согласно данным Всемирной организации здравоохранения, множественно лекарственно-устойчивый туберкулез сегодня диагностируется в среднем у 7% пациентов, что может вскоре серьезно дестабилизировать эпидемиологическую ситуацию в мире и перерасти в глобальную угрозу человечеству [4]. Помимо совершенствования профилактических и диагностических мероприятий, в настоящее время усиленно развиваются три исследовательских направления, призванные если не снять с повестки дня проблему полирезистентных штаммов, то хотя бы снизить ее остроту. Первое из них предполагает разработку строго контролируемых схем интенсивного лечения короткими курсами химиотерапии с использованием комбинаций уже имеющихся фармацевтических средств, что существенно отдаляет развитие устойчивости к ним [4, 5]. Второе направление объединяет генетические исследования по расшифровке последовательности нуклеотидов в геноме *Mycobacterium tuberculosis* с тем, чтобы выявить гены, ответственные за проходящие в клетках мутации и, следовательно, задействованные в механизмах выработки сопротивления антибиотикам [6, 7]. В будущем такой подход, несомненно, позволит создавать принципиально новые средства и методы борьбы с туберкулезом. Однако при современном уровне развития науки пока не утратило своего значения и третье направление, базирующееся в основном на эмпирическом отборе структуры-лидера из множества синтезированных, а затем прошедших различные

* Сообщение 147 см. [1].

уровни фармакологических испытаний соединений. Объясняется это, прежде всего, тем, что предсказать *a priori* многие важнейшие характеристики будущего лекарства почти невозможно, им то или иное вещество может стать только лишь после подробного изучения обширного комплекса фактических свойств. Фрагментом именно такого исследования и является данное сообщение.

Соединения с высокой антимикобактериальной активностью были обнаружены нами ранее среди гетериламидов 1-гидрокси-3-оксо-5,6-дигидро-3Н-пирроло[3,2,1-*i,j*]хинолин-2-карбоновой кислоты [8]. Отсюда интересной представляется замена анилированного с хинолоновым циклом тригидропиррольного ядра тетрагидропиридиновым. В отличие от совершенно плоской пирролохинолоновой системы [9], формирующие пиридохинолоновый скелет атомы вряд ли будут расположены в одной плоскости. Поэтому такая модификация способна дать чрезвычайно полезную информацию о том, участвует ли подвергающаяся структурному изменению часть молекулы во взаимодействии с биологической мишенью.



3 a R = пиридин-4-ил, **b** R = пиридин-3-ил, **c** R = пиридин-2-ил, **d** R = 3-гидроксиридин-2-ил, **e** R = 3-метилпиридин-2-ил, **f** R = 4-метилпиридин-2-ил, **g** R = 5-метилпиридин-2-ил, **h** R = 6-метилпиридин-2-ил, **i** R = пиримидин-2-ил, **j** R = тиазол-2-ил, **k** R = 4-метилтиазол-2-ил, **l** R = 5-метилтиазол-2-ил, **m** R = 4-этоксикарбонилметилтиазол-2-ил, **n** R = 4-(адамантил-1)тиазол-2-ил, **o** R = 4-фенилтиазол-2-ил, **p** R = 4-(4-хлорфенил)тиазол-2-ил, **q** R = 4-(4-бромфенил)тиазол-2-ил, **r** R = 5-метил-1,3,4-тиадиазол-2-ил, **s** R = 5-этил-1,3,4-тиадиазол-2-ил, **t** R = 5-пропил-1,3,4-тиадиазол-2-ил, **u** R = 5-изо-пропил-1,3,4-тиадиазол-2-ил, **v** R = бензтиазол-2-ил, **w** R = 6-фторбензтиазол-2-ил, **x** R = 4-хлорбензтиазол-2-ил, **y** R = 6-бромбензтиазол-2-ил, **z** R = 6-метилбензтиазол-2-ил;
5 a R = Me·HCl, **b** R = CH₂Ph·HCl, **c** R = CHPh₂·HCl

Таблица 1

Характеристики N-R-амидов 1-гидрокси-3-оксо-6,7-дигидро-3Н,5Н-пиридо[3,2,1-ij]-хинолин-2-карбоновой кислоты 3–5

Соединение	Брутто-формула	<u>Найдено, %</u> Вычислено, %			Т. пл., °C	Выход, %
		C	H	N		
1	2	3	4	5	6	7
3a	C ₁₈ H ₁₅ N ₃ O ₃	<u>67.37</u> 67.28	<u>4.79</u> 4.71	<u>13.00</u> 13.08	183–185	93
3b	C ₁₈ H ₁₅ N ₃ O ₃	<u>67.34</u> 67.28	<u>4.76</u> 4.71	<u>13.12</u> 13.08	169–171	94
3c	C ₁₈ H ₁₅ N ₃ O ₃	<u>67.25</u> 67.28	<u>4.66</u> 4.71	<u>13.02</u> 13.08	196–198	89
3d	C ₁₈ H ₁₅ N ₃ O ₄	<u>64.01</u> 64.09	<u>4.39</u> 4.48	<u>12.53</u> 12.46	191–193	80
3e	C ₁₉ H ₁₇ N ₃ O ₃	<u>68.15</u> 68.05	<u>5.17</u> 5.11	<u>12.61</u> 12.53	164–166	81
3f	C ₁₉ H ₁₇ N ₃ O ₃	<u>68.13</u> 68.05	<u>5.18</u> 5.11	<u>12.64</u> 12.53	215–217	92
3g	C ₁₉ H ₁₇ N ₃ O ₃	<u>68.04</u> 68.05	<u>5.05</u> 5.11	<u>12.46</u> 12.53	226–228	95
3h	C ₁₉ H ₁₇ N ₃ O ₃	<u>68.10</u> 68.05	<u>5.15</u> 5.11	<u>12.44</u> 12.53	267–269	95
3i	C ₁₇ H ₁₄ N ₄ O ₃	<u>63.26</u> 63.35	<u>4.30</u> 4.38	<u>17.29</u> 17.38	217–219	82
3j	C ₁₆ H ₁₃ N ₃ O ₃ S	<u>58.77</u> 58.70	<u>4.09</u> 4.00	<u>12.95</u> 12.84	203–205	90
3k	C ₁₇ H ₁₅ N ₃ O ₃ S	<u>59.74</u> 59.81	<u>4.48</u> 4.43	<u>12.22</u> 12.31	225–227	88
3l	C ₁₇ H ₁₅ N ₃ O ₃ S	<u>59.73</u> 59.81	<u>4.39</u> 4.43	<u>12.36</u> 12.31	230–232	89
3m	C ₂₀ H ₁₉ N ₃ O ₅ S	<u>58.15</u> 58.10	<u>4.70</u> 4.63	<u>10.07</u> 10.16	184–186	85
3n	C ₂₆ H ₂₇ N ₃ O ₃ S	<u>67.58</u> 67.66	<u>5.81</u> 5.90	<u>9.03</u> 9.10	288–290	91
3o	C ₂₂ H ₁₇ N ₃ O ₃ S	<u>65.55</u> 65.49	<u>4.20</u> 4.25	<u>10.48</u> 10.41	241–243	94
3p	C ₂₂ H ₁₆ ClN ₃ O ₃ S	<u>60.40</u> 60.34	<u>3.77</u> 3.68	<u>9.52</u> 9.60	267–269	90
3q	C ₂₂ H ₁₆ BrN ₃ O ₃ S	<u>54.71</u> 54.78	<u>3.26</u> 3.34	<u>8.65</u> 8.71	286–288	95
3r	C ₁₆ H ₁₄ N ₄ O ₃ S	<u>56.16</u> 56.13	<u>4.04</u> 4.12	<u>16.30</u> 16.36	210–212	84

Окончание таблицы 1

1	2	3	4	5	6	7
3s	C ₁₇ H ₁₆ N ₄ O ₃ S	<u>57.35</u> 57.29	<u>4.60</u> 4.53	<u>15.79</u> 15.72	177–179	82
3t	C ₁₈ H ₁₈ N ₄ O ₃ S	<u>58.30</u> 58.36	<u>4.97</u> 4.90	<u>15.03</u> 15.12	173–175	86
3u	C ₁₈ H ₁₈ N ₄ O ₃ S	<u>58.45</u> 58.36	<u>4.88</u> 4.90	<u>15.17</u> 15.12	195–197	88
3v	C ₂₀ H ₁₅ N ₃ O ₃ S	<u>63.60</u> 63.65	<u>4.11</u> 4.01	<u>11.09</u> 11.13	294–296	95
3w	C ₂₀ H ₁₄ FN ₃ O ₃ S	<u>60.82</u> 60.75	<u>3.65</u> 3.57	<u>10.71</u> 10.63	329–331	90
3x	C ₂₀ H ₁₄ ClN ₃ O ₃ S	<u>58.38</u> 58.32	<u>3.36</u> 3.43	<u>10.27</u> 10.20	345–347	89
3y	C ₂₀ H ₁₄ BrN ₃ O ₃ S	<u>52.55</u> 52.64	<u>3.03</u> 3.09	<u>9.26</u> 9.21	303–305	96
3z	C ₂₁ H ₁₇ N ₃ O ₃ S	<u>64.40</u> 64.44	<u>4.29</u> 4.38	<u>10.65</u> 10.73	296–298	92
4	C ₂₇ H ₂₁ N ₃ O ₃ S	<u>69.42</u> 69.36	<u>4.60</u> 4.53	<u>9.05</u> 8.99	277–279	90
5a	C ₁₈ H ₂₁ N ₃ O ₃ ·HCl	<u>59.34</u> 59.42	<u>6.00</u> 6.09	<u>11.64</u> 11.55	261–263	80
5b	C ₂₄ H ₂₅ N ₃ O ₃ ·HCl	<u>65.56</u> 65.52	<u>5.90</u> 5.96	<u>9.47</u> 9.55	236–238	77
5c	C ₃₀ H ₂₉ N ₃ O ₃ ·HCl	<u>69.76</u> 69.83	<u>5.77</u> 5.86	<u>8.03</u> 8.14	217–219	83

Синтез и очистка исходного этилового эфира 1-гидрокси-3-оксо-6,7-дигидро-3Н,5Н-пиридо[3,2,1-ij]хинолин-2-карбоновой кислоты (**1**) осуществлены взаимодействием 1,2,3,4-тетрагидрохинолина (**2**) с триэтилметантикарбоксилатом при эквимолярном соотношении реагентов по известной методике [10]. Благодаря дополнительному метиленовому звену, конформационная подвижность реакционных центров в тетрагидрохинолине безусловно значительно выше, чем в индолине. Значит и стерических препятствий для ацилирования и, особенно, последующей внутримолекулярной циклизации должно быть меньше. Действительно, пиридохинолиновый эфир **1** образуется очень легко и с высоким выходом, причем никаких аномалий, наблюдавшихся в реакции триэтилметантикарбоксилата с индолином [11], в данном случае не отмечено.

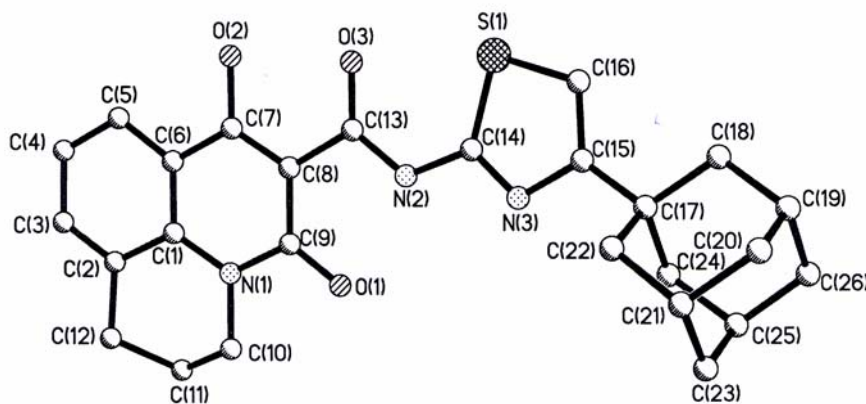
В присутствии небольшого количества ДМФА, обеспечивающего лучшее смешивание реагентов и предотвращающего местные перегревы реакционной смеси, эфир **1** при 160 °C в течение нескольких минут амидируется первичными и вторичными аминами, образуя соответствующие N-R-амиды 1-гидрокси-3-оксо-6,7-дигидро-3Н,5Н-пиридо[3,2,1-ij]-хинолин-2-карбоновой кислоты **3–5** с хорошими выходами (табл. 1).

Все полученные N-R-амиды **3–5** представляют собой бесцветные кристаллические вещества с четкими температурами плавления, за 1192

исключением гидрохлоридов **5a–c**, практически не растворимые в воде. В целом спектры ЯМР ^1H N-R-амидов **3–5** весьма схожи со спектрами соответствующих производных 1-гидрокси-3-оксо-5,6-дигидро-3Н-пирроло[3,2,1-*ij*]хинолин-2-карбоновой кислоты [8]. Наблюдается лишь одно существенное отличие – квинтет интенсивностью 2Н в сильном поле (~ 2.0 м. д.), обусловленный протонами метиленовой группы в положении 6 пиридохинолонового ядра (табл. 2).

Проведенное на примере 4-(адамантил-1)тиазолил-2-амида **3n** рентгеноструктурное исследование (см. рисунок и табл. 3, 4) подтвердило высказанное выше предположение о том, что переход от пирролохинолонов к пиридохинолонам неизбежно вызовет конформационную перестройку молекулы.

Найдено, что в независимой части элементарной ячейки амида **3n** находятся две молекулы (**A** и **B**), различающиеся некоторыми геометрическими параметрами. Как и в случае первичных амидов 1-гидрокси-3-оксо-5,6-дигидро-3Н-пирроло[3,2,1-*ij*]хинолин-2-карбоновой кислоты [9], хинолоновый фрагмент и атомы O₍₁₎, C₍₁₀₎, C₍₁₂₎, O₍₂₎, C₍₁₃₎, O₍₃₎, N₍₂₎ и C₍₁₄₎ в обоих конформерах лежат в одной плоскости с точностью 0.03 Å. Вероятно, это обусловлено наличием двух внутримолекулярных водородных связей: O₍₂₎–H₍₂₀₎…O₍₃₎ (H…O 1.72 в **A**, 1.53 Å в **B**, O–H…O 160° в **A**, 150° в **B**) и N₍₂₎–H_(2N)…O₍₁₎ (H…O 1.89 в **A**, 1.91 Å в **B**, N–H…O 140° в **A** и **B**). Образование внутримолекулярных водородных связей приводит также к удлинению связей O₍₁₎–C₍₉₎ до 1.245(4) в **A**, 1.254(5) Å в **B** и O₍₃₎–C₍₁₃₎ до 1.238(5) в **A**, 1.259(5) Å в **B** по сравнению с их средним значением 1.210 Å [12]. В молекуле **A** обнаружен укороченный внутримолекулярный контакт H_(5a)…O₍₂₎ 2.42 Å (сумма ван-дер-ваальсовых радиусов 2.46 Å [13]). В то же время, "дополнительный" атом C₍₁₁₎, как и ожидалось, отклоняется от среднеквадратичной плоскости, проведенной через остальные атомы цикла, на 0.51 в молекуле **A** и на -0.56 Å в **B**.



Строение молекул амида **3n** с нумерацией атомов

Таблица 2. Спектры ЯМР ^1H синтезированных соединений

Соеди- нение	Химические сдвиги, δ , м. д. (J , Гц)							R	
	1-OH (1H, с)	NH (1H, с)	Пиридохинолиновое ядро						
			H-10 (1H, д)	H-8 (1H, д)	H-9 (1H, т)	5-CH ₂ (2H, т)	7-CH ₂ (2H, т)	6-CH ₂ (2H, кв)	
3a	15.91	12.93	7.99 ($J = 8.0$)	7.50 ($J = 7.4$)	7.21 ($J = 7.9$)	4.15 ($J = 5.8$)	3.01 ($J = 6.0$)	2.13 ($J = 6.0$)	8.45 (2H, д, $J = 6.1$, H-2',6'); 7.60 (2H, д, $J = 6.1$, H-3',4')
3b	16.12	12.76	7.99 ($J = 8.3$)	7.42 ($J = 7.3$)	7.17 ($J = 7.6$)	4.15 ($J = 5.6$)	3.00 ($J = 6.2$)	2.14 ($J = 5.9$)	8.71 (1H, д, $J = 2.2$, H-2'); 8.29 (1H, д, $J = 3.4$, H-6'); 8.20 (1H, д, $J = 7.9$, H-4'); 7.27 (1H, т, $J = 6.5$, H-5')
3c	16.15	12.88	7.97 ($J = 8.0$)	7.45 ($J = 7.1$)	7.18 ($J = 7.9$)	4.17 ($J = 5.7$)	2.99 ($J = 6.2$)	2.13 ($J = 5.8$)	8.34 (1H, д, $J = 4.4$, H-6'); 8.22 (1H, д, $J = 8.4$, H-3'); 7.75 (1H, т, $J = 7.7$, H-4'); 7.09 (1H, т, $J = 5.8$, H-5')
3d	15.89	12.87	7.98 ($J = 8.1$)	7.46 ($J = 7.4$)	7.19 ($J = 7.5$)	4.18 ($J = 5.9$)	3.01 ($J = 6.2$)	2.14 ($J = 5.9$)	9.85 (1H, с, OH); 7.90 (1H, д, д, $J = 4.4$ и $J = 1.8$, H-6'); 7.27 (1H, д, $J = 8.1$, H-4'); 7.06 (1H, т, $J = 6.6$, H-5')
3e	16.42	12.44	7.97 ($J = 7.9$)	7.52 ($J = 7.0$)	7.23 ($J = 7.5$)	4.16 ($J = 5.7$)	3.02 ($J = 6.3$)	2.11 ($J = 6.0$)	8.28 (1H, д, $J = 4.5$, H-6'); 7.67 (1H, д, $J = 7.5$, H-4'); 7.20 (1H, т, $J = 6.0$, H-5'); 2.34 (3H, с, CH ₃)
3f	16.20	12.81	7.97 ($J = 8.0$)	7.43 ($J = 7.1$)	7.16 ($J = 7.8$)	4.16 ($J = 5.9$)	3.00 ($J = 6.3$)	2.13 ($J = 5.9$)	8.17 (1H, д, $J = 6.0$, H-6'); 8.05 (1H, с, H-3'); 6.90 (1H, д, $J = 4.8$, H-5'); 2.42 (3H, с, CH ₃)
3g	16.27	12.78	7.99 ($J = 8.3$)	7.42 ($J = 7.4$)	7.16 ($J = 7.9$)	4.18 ($J = 6.0$)	3.01 ($J = 6.1$)	2.14 ($J = 6.0$)	8.15 (1H, с, H-6'); 8.12 (1H, д, $J = 8.5$, H-3'); 7.53 (1H, д, д, $J = 8.5$ и $J = 1.8$, H-4'); 2.33 (3H, с, CH ₃)
3h	16.12	12.88	Cm. R ($J = 7.4$)	7.58 ($J = 7.5$)	7.27 ($J = 7.5$)	4.14 ($J = 5.7$)	2.99 ($J = 6.0$)	2.08 ($J = 5.8$)	7.97 (2H, д, $J = 8.2$, H-3' + H-10); 7.74 (1H, т, $J = 8.0$, H-4'); 7.06 (1H, д, $J = 7.6$, H-5'); 2.45 (3H, с, CH ₃)
3i	16.37	13.13	7.99 ($J = 8.0$)	7.47 ($J = 7.3$)	7.19 ($J = 7.7$)	4.17 ($J = 5.8$)	3.01 ($J = 6.2$)	2.14 ($J = 5.9$)	8.68 (2H, д, $J = 4.5$, H-4',6'); 7.16 (1H, т, $J = 4.9$, H-5')
3j	15.18	13.65	8.00 ($J = 8.3$)	Cm. R ($J = 7.5$)	7.20 ($J = 7.5$)	4.18 ($J = 5.7$)	3.01 ($J = 6.2$)	2.14 ($J = 5.8$)	7.47 (2H, м, H-5' + H-8); 7.11 (1H, д, $J = 3.7$, H-4')
3k	15.24	13.52	7.99 ($J = 8.2$)	7.45 ($J = 7.4$)	7.18 ($J = 7.6$)	4.18 ($J = 5.6$)	3.01 ($J = 6.2$)	2.14 ($J = 5.7$)	6.62 (1H, с, H-5'); 2.35 (3H, с, CH ₃)
3l	15.28	13.47	7.99 ($J = 8.2$)	7.47 ($J = 7.4$)	7.19 ($J = 7.8$)	4.18 ($J = 5.6$)	3.00 ($J = 6.0$)	2.14 ($J = 5.6$)	7.10 (1H, с, H-4'); 2.45 (3H, с, CH ₃)
3m	15.12	13.56	7.97 ($J = 8.0$)	7.45 ($J = 7.1$)	7.18 ($J = 8.0$)	Cm. R ($J = 6.0$)	2.99 ($J = 6.0$)	2.13 ($J = 5.7$)	6.95 (1H, с, H-5'); 4.15 (4H, м, OCH ₂ + 5-CH ₂); 3.67 (2H, с, CH ₂); 1.30 (3H, т, $J = 7.1$, CH ₃)
3n	15.30	13.53	8.01	7.48	7.20	4.19	3.02	2.15	6.57 (1H, с, H-5'); 2.08 (3H, с, γ -Н-узловые адамантана); 1.95 (6H, м, δ -

			(J = 8.2)	(J = 7.5)	(J = 7.8)	(J = 5.9)	(J = 6.3)	(J = 5.9)	H адантана); 1.78 (6H, с, β -Н адантана)
3o	15.19	13.73	8.01 (J = 8.0)	7.48 (J = 7.3)	7.21 (J = 7.6)	4.20 (J = 5.7)	3.02 (J = 6.2)	2.16 (J = 5.7)	7.90 (2H, д, J = 8.0, H-2,6 Ph); 7.41 (1H, с, Н-5 тиазола); 7.36 (2H, т, J = 7.3, H-3,5 Ph); 7.26 (1H, т, J = 7.2, H-4 Ph)
3p	14.94	13.86	7.96 (J = 8.1)	7.58 (J = 7.2)	7.28 (J = 7.7)	4.15 (J = 5.8)	2.98 (J = 6.0)	2.09 (J = 5.5)	7.92 (2H, д, J = 8.8, H-3,5 Ph); 7.78 (1H, с, Н-5 тиазола); 7.43 (2H, д, J = 8.8, H-2,6 Ph)
3q	14.92	13.90	8.00 (J = 8.0)	Cm. R	7.33 (J = 7.5)	4.18 (J = 5.7)	3.01 (J = 6.1)	2.10 (J = 5.4)	7.89 (2H, д, J = 8.0, H-3,5 Ph); 7.80 (1H, с, Н-5 тиазола); 7.62 (2H, м, H-2,6 Ph + H-8)
3r	14.89	13.92	8.02 (J = 8.3)	7.51 (J = 7.1)	7.22 (J = 7.5)	4.21 (J = 5.8)	3.03 (J = 6.2)	2.16 (J = 5.9)	2.71 (3H, с, CH ₃)
3s	14.84	13.87	7.97 (J = 8.0)	7.48 (J = 7.1)	7.20 (J = 7.5)	4.18 (J = 5.9)	2.98 (J = 6.3)	2.15 (J = 5.8)	3.06 (2H, к, J = 7.8, CH ₂); 1.43 (3H, т, J = 7.6, CH ₃)
3t	14.87	13.92	8.01 (J = 8.1)	7.51 (J = 7.2)	7.22 (J = 7.5)	4.21 (J = 5.9)	Cm. R	2.16 (J = 5.8)	3.00 (4H, м, CH ₂ CH ₂ Me + CH ₂ -7); 1.84 (2H, м, CH ₂ Me); 1.07 (3H, т, J = 7.0, CH ₃)
3u	14.91	13.91	8.00 (J = 8.1)	7.52 (J = 7.0)	7.23 (J = 7.5)	4.22 (J = 5.9)	3.03 (J = 6.2)	2.16 (J = 5.6)	3.39 (1H, м, CH); 1.45 (6H, д, J = 7.2, 2CH ₃)
3v	14.87	14.02	Cm. R	7.62 (J = 6.8)	Cm. R	4.19 (J = 5.6)	3.02 (J = 6.1)	2.11 (J = 5.4)	8.01 (2H, м, H-7' + H-10); 7.83 (1H, д, J = 7.9, H-4'); 7.49 (1H, т, J = 7.7, H-6'); 7.35 (2H, м, H-5' + H-9)
3w	14.92	14.00	8.04 (J = 8.2)	7.61 (J = 7.0)	Cm. R	4.21 (J = 5.8)	3.00 (J = 6.3)	2.14 (J = 5.5)	7.80 (2H, м, H-7',5'); 7.27 (2H, м, H-4' + H-9)
3x	14.83	13.95	Cm. R	7.57 (J = 7.1)	Cm. R	4.18 (J = 5.8)	3.03 (J = 6.2)	2.12 (J = 5.6)	8.03 (2H, м, H-7' + H-10); 7.66 (1H, д, J = 7.8, H-5'); 7.33 (2H, м, H-6'+H -9)
3y	14.98	14.09	8.03 (J = 8.0)	Cm. R	7.33 (J = 7.5)	4.18 (J = 5.8)	3.02 (J = 6.3)	2.11 (J = 6.0)	8.26 (1H, с, H-7'); 7.76 (1H, д, J = 8.7, H-4'); 7.62 (2H, м, H-5' + H-8)
3z	15.11	13.86	8.02 (J = 8.1)	7.63 (J = 7.0)	7.34 (J = 7.7)	4.22 (J = 5.9)	3.01 (J = 6.2)	2.10 (J = 5.8)	7.80 (1H, с, H-7'); 7.72 (1H, д, J = 8.3, H-4'); 7.29 (1H, д, J = 8.2, H-5'); 2.42 (3H, с, CH ₃)
4	16.05	12.89	8.01 (J = 7.9)	7.60 (J = 7.4)	7.31 (J = 7.6)	4.19 (J = 5.8)	3.02 (J = 6.2)	2.11 (J = 6.0)	8.10 (2H, д, J = 8.2, H-2,6 Ph); 7.91 (1H, д, J = 7.9, H-4"); 7.87 (3H, м, H-3,5 Ph + H-7"); 7.35 (1H, д, J = 8.2, H-5"); 2.44 (3H, с, CH ₃)
5a	Cm. R	—	7.86 (J = 8.2)	7.31 (J = 7.0)	7.08 (J = 7.5)	4.04 (J = 5.7)	2.97 (J = 6.0)	2.08 (J = 5.3)	11.10 (2H, уш. с, OH + HN ⁺); 3.23 (8H, уш. с, 4CH ₂ пиперазина); 2.82 (3H, с, CH ₃)
5b	Cm. R	—	7.85 (J = 8.0)	7.32 (J = 7.2)	7.07 (J = 7.7)	4.05 (J = 5.9)	2.97 (J = 6.1)	2.07 (J = 6.0)	11.56 (2H, уш. с, OH + HN ⁺); 7.74 (2H, д, J = 7.0, H-2,6 Ph); 7.40 (3H, м, H-3,4,5 Ph); 4.33 (2H, с, CHPh ₂); 3.28 (8H, уш. с, 4CH ₂ пиперазина)
5c	12.50	11.14	Cm. R (HN ⁺)	Cm. R	7.15 (J = 7.6)	4.00 (J = 5.8)	2.93 (J = 6.2)	1.98 (J = 5.9)	7.94–7.28 (12H, м, H-10,8 + 2Ph); 5.61 (1H, с, CHPh ₂); 3.24 (8H, уш. с, 4CH ₂ пиперазина)

Т а б л и ц а 3
Длины связей (l) в структуре амида Зп

Связь	$l, \text{\AA}$	Связь	$l, \text{\AA}$
S _(1A) —C _(14A)	1.706(5)	S _(1A) —C _(16A)	1.727(5)
N _(1A) —C _(1A)	1.370(4)	N _(1A) —C _(9A)	1.391(4)
N _(1A) —C _(10A)	1.462(5)	N _(2A) —C _(13A)	1.367(5)
N _(2A) —C _(14A)	1.392(5)	N _(3A) —C _(14A)	1.285(5)
N _(3A) —C _(15A)	1.386(5)	O _(1A) —C _(9A)	1.246(4)
O _(2A) —C _(7A)	1.327(5)	O _(3A) —C _(13A)	1.238(5)
C _(1A) —C _(6A)	1.393(5)	C _(1A) —C _(2A)	1.396(5)
C _(2A) —C _(3A)	1.372(6)	C _(2A) —C _(12A)	1.492(6)
C _(3A) —C _(4A)	1.402(7)	C _(4A) —C _(5A)	1.346(6)
C _(5A) —C _(6A)	1.410(5)	C _(6A) —C _(7A)	1.437(5)
C _(7A) —C _(8A)	1.403(5)	C _(8A) —C _(9A)	1.458(5)
C _(8A) —C _(13A)	1.487(6)	C _(10A) —C _(11A)	1.482(7)
C _(11A) —C _(12A)	1.514(7)	C _(15A) —C _(16A)	1.381(6)
C _(15A) —C _(17A)	1.512(5)	C _(17A) —C _(18A)	1.510(6)
C _(17A) —C _(24A)	1.536(6)	C _(17A) —C _(22A)	1.556(5)
C _(18A) —C _(19A)	1.517(6)	C _(19A) —C _(20A)	1.520(7)
C _(19A) —C _(26A)	1.543(7)	C _(20A) —C _(21A)	1.525(6)
C _(21A) —C _(23A)	1.513(6)	C _(21A) —C _(22A)	1.535(6)
C _(23A) —C _(25A)	1.527(6)	C _(24A) —C _(25A)	1.532(6)
C _(25A) —C _(26A)	1.521(7)	S _(1B) —C _(16B)	1.710(4)
S _(1B) —C _(14B)	1.726(4)	N _(1B) —C _(9B)	1.369(6)
N _(1B) —C _(1B)	1.423(5)	N _(1B) —C _(10B)	1.491(5)
N _(2B) —C _(13B)	1.319(5)	N _(2B) —C _(14B)	1.389(5)
N _(3B) —C _(14B)	1.298(5)	N _(3B) —C _(15B)	1.397(5)
O _(1B) —C _(9B)	1.254(5)	O _(2B) —C _(7B)	1.323(5)
O _(3B) —C _(13B)	1.260(5)	C _(1B) —C _(6B)	1.400(6)
C _(1B) —C _(2B)	1.428(6)	C _(2B) —C _(3B)	1.398(6)
C _(2B) —C _(12B)	1.476(6)	C _(3B) —C _(4B)	1.364(6)
C _(4B) —C _(5B)	1.370(6)	C _(5B) —C _(6B)	1.408(6)
C _(6B) —C _(7B)	1.416(6)	C _(7B) —C _(8B)	1.376(5)
C _(8B) —C _(9B)	1.435(6)	C _(8B) —C _(13B)	1.465(6)
C _(10B) —C _(11B)	1.466(7)	C _(11B) —C _(12B)	1.455(7)
C _(15B) —C _(16B)	1.347(6)	C _(15B) —C _(17B)	1.492(6)
C _(17B) —C _(22B)	1.525(5)	C _(17B) —C _(24B)	1.542(6)
C _(17B) —C _(18B)	1.558(5)	C _(18B) —C _(19B)	1.525(6)
C _(19B) —C _(20B)	1.517(6)	C _(19B) —C _(26B)	1.522(7)
C _(20B) —C _(21B)	1.519(6)	C _(21B) —C _(23B)	1.540(6)
C _(21B) —C _(22B)	1.543(5)	C _(23B) —C _(25B)	1.496(6)
C _(24B) —C _(25B)	1.568(6)	C _(25B) —C _(26B)	1.515(8)

В результате аннелированное с хинолоновым циклом тетрагидропиридиновое кольцо приобретает конформацию *софы* (параметры складчатости [14]: $S = 0.58$, $\theta = 39.6^\circ$, $\Psi = 7.3^\circ$ для **A** и $S = 0.68$, $\theta = 36.1^\circ$, $\Psi = 1.9^\circ$ для **B**). При этом возникает укороченный внутримолекулярный

Т а б л и ц а 4

Валентные углы (ω) в структуре амида Зп

Угол	ω , град.	Угол	ω , град.
1	2	3	4
C _(14A) —S _(1A) —C _(16A)	89.3(2)	C _(1A) —N _(1A) —C _(9A)	123.4(3)
C _(1A) —N _(1A) —C _(10A)	120.2(3)	C _(9A) —N _(1A) —C _(10A)	116.4(3)
C _(13A) —N _(2A) —C _(14A)	122.8(4)	C _(14A) —N _(3A) —C _(15A)	110.5(3)
N _(1A) —C _(1A) —C _(6A)	120.7(3)	N _(1A) —C _(1A) —C _(2A)	122.9(3)
C _(6A) —C _(1A) —C _(2A)	116.4(3)	C _(3A) —C _(2A) —C _(1A)	120.2(4)
C _(3A) —C _(2A) —C _(12A)	119.3(4)	C _(1A) —C _(2A) —C _(12A)	120.5(4)
C _(2A) —C _(3A) —C _(4A)	122.1(4)	C _(5A) —C _(4A) —C _(3A)	119.1(4)
C _(4A) —C _(5A) —C _(6A)	118.9(4)	C _(1A) —C _(6A) —C _(5A)	123.1(4)
C _(1A) —C _(6A) —C _(7A)	118.6(3)	C _(5A) —C _(6A) —C _(7A)	118.3(4)
O _(2A) —C _(7A) —C _(8A)	120.8(4)	O _(2A) —C _(7A) —C _(6A)	118.4(4)
C _(8A) —C _(7A) —C _(6A)	120.8(4)	C _(7A) —C _(8A) —C _(9A)	119.1(4)
C _(7A) —C _(8A) —C _(13A)	119.1(4)	C _(9A) —C _(8A) —C _(13A)	121.8(4)
O _(1A) —C _(9A) —N _(1A)	118.4(3)	O _(1A) —C _(9A) —C _(8A)	124.2(3)
N _(1A) —C _(9A) —C _(8A)	117.4(3)	N _(1A) —C _(10A) —C _(11A)	115.0(4)
C _(10A) —C _(11A) —C _(12A)	114.7(4)	C _(2A) —C _(12A) —C _(11A)	111.2(4)
O _(3A) —C _(13A) —N _(2A)	123.6(4)	O _(3A) —C _(13A) —C _(8A)	121.1(4)
N _(2A) —C _(13A) —C _(8A)	115.3(4)	N _(3A) —C _(14A) —N _(2A)	119.0(4)
N _(3A) —C _(14A) —S _(1A)	116.4(3)	N _(2A) —C _(14A) —S _(1A)	124.6(3)
C _(16A) —C _(15A) —N _(3A)	114.7(4)	C _(16A) —C _(15A) —C _(17A)	126.8(4)
N _(3A) —C _(15A) —C _(17A)	118.2(4)	C _(15A) —C _(16A) —S _(1A)	109.1(4)
C _(18A) —C _(17A) —C _(15A)	112.1(4)	C _(18A) —C _(17A) —C _(24A)	108.5(4)
C _(15A) —C _(17A) —C _(24A)	111.4(3)	C _(18A) —C _(17A) —C _(22A)	106.9(4)
C _(15A) —C _(17A) —C _(22A)	108.5(3)	C _(24A) —C _(17A) —C _(22A)	109.3(3)
C _(17A) —C _(18A) —C _(19A)	112.4(4)	C _(18A) —C _(19A) —C _(20A)	110.6(4)
C _(18A) —C _(19A) —C _(26A)	106.7(4)	C _(20A) —C _(19A) —C _(26A)	110.3(5)
C _(19A) —C _(20A) —C _(21A)	108.8(4)	C _(23A) —C _(21A) —C _(20A)	108.2(4)
C _(23A) —C _(21A) —C _(22A)	110.4(4)	C _(20A) —C _(21A) —C _(22A)	109.7(4)
C _(21A) —C _(22A) —C _(17A)	110.3(3)	C _(21A) —C _(23A) —C _(25A)	110.9(4)
C _(25A) —C _(24A) —C _(17A)	109.9(3)	C _(26A) —C _(25A) —C _(23A)	108.1(4)
C _(26A) —C _(25A) —C _(24A)	108.1(4)	C _(23A) —C _(25A) —C _(24A)	111.2(4)
C _(25A) —C _(26A) —C _(19A)	109.9(4)	C _(16B) —S _(1B) —C _(14B)	87.3(2)
C _(9B) —N _(1B) —C _(1B)	122.1(4)	C _(9B) —N _(1B) —C _(10B)	115.6(4)
C _(1B) —N _(1B) —C _(10B)	122.1(4)	C _(13B) —N _(2B) —C _(14B)	128.1(4)
C _(14B) —N _(3B) —C _(15B)	111.0(4)	C _(6B) —C _(1B) —N _(1B)	118.5(4)
C _(6B) —C _(1B) —C _(2B)	123.9(4)	N _(1B) —C _(1B) —C _(2B)	117.6(4)
C _(3B) —C _(2B) —C _(1B)	115.9(4)	C _(3B) —C _(2B) —C _(12B)	123.1(4)
C _(1B) —C _(2B) —C _(12B)	121.0(4)	C _(4B) —C _(3B) —C _(2B)	122.0(4)
C _(3B) —C _(4B) —C _(5B)	120.4(4)	C _(4B) —C _(5B) —C _(6B)	122.6(4)
C _(1B) —C _(6B) —C _(5B)	115.2(4)	C _(1B) —C _(6B) —C _(7B)	119.6(4)
C _(5B) —C _(6B) —C _(7B)	125.1(4)	O _(2B) —C _(7B) —C _(8B)	124.9(4)
O _(2B) —C _(7B) —C _(6B)	114.5(4)	C _(8B) —C _(7B) —C _(6B)	120.6(4)
C _(7B) —C _(8B) —C _(9B)	120.3(4)	C _(7B) —C _(8B) —C _(13B)	116.7(4)

Окончание таблицы 4

1	2	3	4
C _(9B) —C _(8B) —C _(13B)	123.0(4)	O _(1B) —C _(9B) —N _(1B)	120.2(4)
O _(1B) —C _(9B) —C _(8B)	121.2(4)	N _(1B) —C _(9B) —C _(8B)	118.6(4)
C _(11B) —C _(10B) —N _(1B)	111.0(4)	C _(12B) —C _(11B) —C _(10B)	114.7(5)
C _(11B) —C _(12B) —C _(2B)	112.5(4)	O _(3B) —C _(13B) —N _(2B)	118.6(4)
O _(3B) —C _(13B) —C _(8B)	122.6(4)	N _(2B) —C _(13B) —C _(8B)	118.8(4)
N _(3B) —C _(14B) —N _(2B)	120.9(4)	N _(3B) —C _(14B) —S _(1B)	115.8(3)
N _(2B) —C _(14B) —S _(1B)	123.3(3)	C _(16B) —C _(15B) —N _(3B)	112.1(4)
C _(16B) —C _(15B) —C _(17B)	128.0(4)	N _(3B) —C _(15B) —C _(17B)	119.9(3)
C _(15B) —C _(16B) —S _(1B)	113.5(3)	C _(15B) —C _(17B) —C _(22B)	108.6(3)
C _(15B) —C _(17B) —C _(24B)	110.0(3)	C _(22B) —C _(17B) —C _(24B)	107.9(3)
C _(15B) —C _(17B) —C _(18B)	112.1(3)	C _(22B) —C _(17B) —C _(18B)	109.4(3)
C _(24B) —C _(17B) —C _(18B)	108.7(4)	C _(19B) —C _(18B) —C _(17B)	108.8(4)
C _(20B) —C _(19B) —C _(26B)	108.4(4)	C _(20B) —C _(19B) —C _(18B)	108.5(4)
C _(26B) —C _(19B) —C _(18B)	112.9(4)	C _(19B) —C _(20B) —C _(21B)	110.5(4)
C _(20B) —C _(21B) —C _(23B)	110.7(4)	C _(20B) —C _(21B) —C _(22B)	108.3(4)
C _(23B) —C _(21B) —C _(22B)	107.8(4)	C _(17B) —C _(22B) —C _(21B)	110.9(3)
C _(25B) —C _(23B) —C _(21B)	109.3(4)	C _(17B) —C _(24B) —C _(25B)	109.5(3)
C _(23B) —C _(25B) —C _(26B)	110.5(4)	C _(23B) —C _(25B) —C _(24B)	109.2(4)
C _(26B) —C _(25B) —C _(24B)	109.9(5)	C _(25B) —C _(26B) —C _(19B)	109.1(4)

контакт H_(10B)...O₍₁₎ 2.35 в **A**, 2.36 Å в **B** (2.46 Å). Пятичленный тиазольный гетероцикл несколько некoplanарен плоскому фрагменту (торсионный угол C₍₁₃₎—N₍₂₎—C₍₁₄₎—S₍₁₎ −11.0(6)° в **A**, 11.0(6)° в **B**), что, вероятно, можно объяснить отталкиванием между атомом кислорода карбонильной группы и атомом серы [укороченный внутримолекулярный контакт S₍₁₎...O₍₃₎ 2.77 в **A** и **B** (3.13 Å)]. Адамантановый заместитель расположен таким образом, что связь C₍₁₈₎—C₍₁₇₎ практически копланарна плоскости тиазольного цикла (торсионный угол C₍₁₈₎—C₍₁₇₎—C₍₁₅₎—C₍₁₆₎ −11.1(6)° в **A** и 10.0(6)° в **B**).

Все синтезированные амиды **3–5** подвергнуты микробиологическому скринингу, проведенному радиометрическим методом [15, 16] по отношению к *Mycobacterium tuberculosis* H37Rv ATCC 27294. При этом установлено, что некоторые из исследованных веществ в концентрации 6.25 мкг/мл проявляют *in vitro* высокую противотуберкулезную активность, угнетая рост микобактерий туберкулеза на 99–100% (табл. 5).

Сравнительный анализ antimикобактериальных свойств амидов **3–5** и их структурных аналогов – соответствующих гетариламидов 1-гидрокси-3-оксо-5,6-дигидро-3Н-пирроло[3,2,1-*ij*]хинолин-2- и 1-R-4-гидрокси-2-оксо-1,2-дигидрохинолин-3-карбоновых кислот с низшими N₍₁₎-алкильными заместителями в хинолоновом ядре – обнаруживает одну и ту же зависимость проявляемого antimикробного действия от химического строения гетероцикла в амидном фрагменте молекулы. Так, например, пиридил-4-амиды всегда активнее своих 3-аналогов, а те, в свою очередь, существенно превосходят по силе противотуберкулезного эффекта 2-изомеры.

В ряду 3-гидрокси- и некоторых монометилзамещенных пиридил-2-

амидов переход к производным пиридохинолин-2-карбоновой кислоты **3d–g** неожиданно привел к усилению активности, однако, в общем эффект оказался незначительным. А вот влияние метильной группы в положении 6 пиридин-2-амидного остатка во всех случаях одинаково – она полностью дезактивирует молекулу независимо от строения хинолоновой части. Нецелесообразно также и амидирование гидроксихинолинкарбоновых кислот 2-аминопиrimидином, поскольку специфическое действие получаемых при этом соединений никогда не превышало 20–25%. Напротив, тиазолил-2-амиды демонстрируют намного более высокие и стабильные результаты. Выявлено, что заместители в положении 4 или 5 тиазола, как правило, повышают активность, но они не должны быть пространственно объемными. Еще более благоприятно на силу противотуберкулезного действия влияет введение второго атома азота в ароматический пятичленный цикл – 1,3,4-тиадиазолил-2-амиды практически всегда сохраняют способность блокировать рост микобактерий туберкулеза на 90–100% при низкой минимальной ингибирующей концентрации (МИК). В то же время, на активность производных бензтиазола структура хинолонового фрагмента оказывает более выраженное влияние. Если абсолютное отсутствие антимикобактериальных свойств у 4-(6-метилбензтиазолил-2)анилида **4** было заведомо прогнозируемым, то сравнительно низкая активность бензтиазолил-2-амида **3v**, а также его галоген- (**3w–y**) и метил- (**3z**) замещенных аналогов оказалась несколько неожиданной.

Таблица 5
Противотуберкулезная активность соединений 3–5

Соединение	Задержка роста <i>M. tuberculosis</i> , %	МИК,* мкг/мл	Соединение	Задержка роста <i>M. tuberculosis</i> , %	МИК,* мкг/мл
3a	100	6.25	3p	73	–
3b	57	–	3q	63	–
3c	14	–	3r	100	3.13
3d	17	–	3s	100	0.78
3e	58	–	3t	100	1.56
3f	13	–	3u	100	3.13
3g	15	–	3v	9	–
3h	0	–	3w	39	–
3i	20	–	3x	25	–
3j	99	6.25	3y	100	6.25
3k	100	3.13	3z	20	–
3l	100	3.13	4	0	–
3m	100	6.25	5a	0	–
3n	18	–	5b	0	–
3o	32	–	5c	0	–

* Согласно принятым в TAACF (Tuberculosis Antimicrobial Acquisition & Coordinating Facility) критериям, истинная МИК определяется только для веществ, показавших на первом этапе активность не ниже 90%.

Подводя итог проведенному исследованию, отметим, что в целом

аннелирование хинолонового ядра с тетрагидропиридиновым циклом в большинстве случаев кардинально не оказывается на противотуберкулезных свойствах. Данное обстоятельство позволяет сделать вывод о том, что N₍₁₎-алкильные заместители в гетариламидах 1-R-4-гидрокси-2-оксо-1,2-дигидрохинолин-3-карбоновых кислот, равно как и тригидропиррольный или тетрагидропиридиновый фрагменты в соответствующих производных 1-гидрокси-3-оксо-5,6-дигидро-3Н-пирроло[3,2,1-ij]хинолин-2- и 1-гидрокси-3-оксо-6,7-дигидро-3Н,5Н-пиридо[3,2,1-ij]хинолин-2-карбоновых кислот, не принимают прямого участия в связывании с биологической мишенью. Скорее всего, они лишь в той или иной мере влияют на способность взаимодействовать с рецепторами действительно одной из ключевых функциональных групп – карбонила в положении 2 хинолонового ядра. Вторым таким центром, очевидно, является группировка NH в амидном фрагменте. Подтверждением этого служит уже неоднократно наблюдающаяся полная потеря активности у вторичных амидов типа **5**.

ЭКСПЕРИМЕНТАЛЬНАЯ ЧАСТЬ

В синтезе эфира **1** использованы коммерческие 1,2,3,4-тетрагидрохинолин и триэтил- метантрикарбоксилат фирмы Fluka. Спектры ЯМР ¹H синтезированных соединений записаны на приборе Bruker WM-360 (360 МГц) в растворе ДМСО-d₆, внутренний стандарт ТМС.

Этиловый эфир 1-гидрокси-3-оксо-6,7-дигидро-3Н,5Н-пиридо[3,2,1-ij]-хинолин-2-карбоновой кислоты (1). В 21.1 мл (0.1 моль) триэтилметантрикарбоксилата, нагревшего до 215 °C, при перемешивании по каплям прибавляют 12.5 мл (0.1 моль) 1,2,3,4-тетрагидрохинолина (**2**) таким образом, чтобы температура реакционной смеси поддерживалась в пределах ±5 °C от начальной. Выделявшемуся в процессе реакции этанолу дают возможность свободно отгоняться через подходящий дефлегматор без увеличения исходных реагентов. После прибавления всего 1,2,3,4-тетрагидрохинолина реакционную смесь выдерживают 10–15 мин при той же температуре, а затем дают остывть до ≈100 °C. Прибавляют 300 мл 10% водного раствора Na₂CO₃ и нагревают до 70–80 °C. Полученный раствор 1-O-натриевой соли эфира **1** чистят углем, фильтруют. После охлаждения фильтрат подкисляют разбавленной (1:1) HCl до pH 4.5–5. Осадок эфира **1** отфильтровывают, промывают водой, сушат. Выход 26.23 г (96%). Бесцветные иглы с т. пл. 102–104 °C (из гексана). По данным работы [17], желтые иглы с т. пл. 101 °C. Спектр ЯМР ¹H, δ, м. д. (J, Гц): 13.10 (1H, с, OH); 7.88 (1H, д, J = 8.0, H-10); 7.49 (1H, д, J = 7.3, H-8); 7.18 (1H, т, J = 7.5, H-9); 4.33 (2H, к, J = 7.0, OCH₂); 3.99 (2H, т, J = 5.6, NCH₂); 2.94 (2H, т, J = 6.1, 7-CH₂); 2.00 (2H, кв, J = 6.0, 6-CH₂); 1.32 (3H, т, J = 7.0, OCH₂CH₃).

N-R-Амиды 1-гидрокси-3-оксо-6,7-дигидро-3Н,5Н-пиридо[3,2,1-ij]хинолин-2-карбоновой кислоты За-z, 4 (общая методика). Смесь 2.73 г (0.01 моль) эфира **1**, 0.01 моль соответствующего первичного амина и 1 мл ДМФА перемешивают и выдерживают 3–5 мин при 160 °C. Исходные реагенты при этом вначале растворяются, а затем после бурного выделения этанола начинает выкристаллизовываться конечный амид. К еще не остывшей реакционной смеси осторожно, опасаясь резкого вскипания, прибавляют 10–15 мл этанола и тщательно растирают. Осадок гетариламида **3** или анилида **4** отфильтровывают, промывают спиртом, сушат. Кристаллизуют из ДМФА.

Гидрохлориды 4-R-пиперазин-1-иламидов 1-гидрокси-3-оксо-6,7-дигидро-

3Н,5Н-пиридо[3,2,1-ij]хинолин-2-карбоновой кислоты 5а–с. Полученные по методике предыдущего опыта основания 4-R-пиперазин-1-иламидов (загрузка 0.01 моль) суспенсируют в 10 мл этанола, затем прибавляют раствор газообразного HCl в этаноле до pH 3 (осадок при этом растворяется), после чего оставляют на несколько часов в морозильном шкафу. Выделившиеся кристаллы гидрохлоридов 4-R-пиперазин-1-иламидов **5а–с** отфильтровывают, промывают эфиром, сушат.

Рентгеноструктурное исследование. Кристаллы амида **3п** триклинические (из ДМФА), при 20 °C: $a = 7.293(1)$, $b = 11.298(1)$, $c = 26.995(3)$ Å, $\alpha = 91.20(1)$ °, $\beta = 91.74(1)$ °, $\gamma = 90.06(1)$ °, $V = 2222.8(4)$ Å³, $M_r = 462.57$, $Z = 4$, пространственная группа $P\bar{1}$, $d_{\text{выч}} = 1.382$ г/см³, $\mu(\text{MoK}\alpha) = 0.181$ мм⁻¹, $F(000) = 980$. Параметры элементарной ячейки и интенсивности 18142 отражений (7800 независимых, $R_{\text{int}} = 0.057$) измерены на дифрактометре Xcalibur-3 (MoKα-излучение, CCD-детектор, графитовый монохроматор, ω -сканирование, $2\theta_{\text{max}} = 50$ °).

Структура расшифрована прямым методом по комплексу программ SHELXTL [18]. Положения атомов водорода выявлены из разностного синтеза электронной плотности и уточнены по модели "наездника" с $U_{\text{iso}} = nU_{\text{eq}}$ неводородного атома, связанного с данным водородным ($n = 1.5$ для гидроксильной группы и $n = 1.2$ для всех остальных атомов водорода). Структура уточнена по F^2 полноматричным МНК в анизотропном приближении для неводородных атомов до $wR_2 = 0.215$ по 7609 отражениям ($R_1 = 0.082$ по 3121 отражению с $F > 4\sigma(F)$, $S = 1.080$). Полная кристаллографическая информация депонирована в Кембриджском банке структурных данных – депонент № CCDC631476. Межатомные расстояния и валентные углы представлены в табл. 3 и 4.

Авторы выражают благодарность Национальному институту аллергии и инфекционных заболеваний США за проведенное в соответствии с программой TAACF изучение противотуберкулезных свойств синтезированных нами соединений (контракт № 01-AI-45246).

СПИСОК ЛИТЕРАТУРЫ

1. И. В. Украинец, Н. Л. Березнякова, А. В. Туров, *XTC*, 1039 (2008).
2. N. Frimodt-Moller, A. M. Hammerum, L. Bagger-Skjøt, J. H. Hessler, C. T. Brandt, R. L. Skov, D. L. Monnet, *Ugeskr. Laeger.*, **168**, 3039 (2006).
3. R. Johnson, E. M. Streicher, G. E. Louw, R. M. Warren, P. D. van Helden, T. C. Victor, *Curr. Issues Mol. Biol.*, **8**, 97 (2006).
4. S. K. Sharma, A. Mohan, *Chest*, **130**, 261 (2006).
5. A. D. Harries, C. Dye, *Ann. Trop. Med. Parasitol.*, **100**, 415 (2006).
6. A. I. De La Iglesia, H. R. Morbidoni, *Rev. Argent. Microbiol.*, **38**, 97 (2006).
7. A. J. Steyn, J. Chan, V. Mehra, *Curr. Opin. Infect. Dis.*, **12**, 415 (1999).
8. И. В. Украинец, Е. В. Моспанова, Л. В. Сидоренко, *XTC*, 1023 (2007). [*Chem. Heterocycl. Comp.*, **43**, 863 (2007)].
9. И. В. Украинец, Н. Л. Березнякова, Е. В. Моспанова, *XTC*, 1015 (2007). [*Chem. Heterocycl. Comp.*, **43**, 863 (2007)].
10. И. В. Украинец, Л. В. Сидоренко, О. В. Горохова, Е. В. Моспанова, О. В. Шишкин, *XTC*, 718 (2006). [*Chem. Heterocycl. Comp.*, **43**, 856 (2007)].
11. И. В. Украинец, О. В. Горохова, Л. В. Сидоренко, Н. Л. Березнякова, *XTC*, 1191 (2006). [*Chem. Heterocycl. Comp.*, **42**, 1032 (2006)].
12. H.-B. Burgi, J. D. Dunitz, *Struct. Correl.*, VCH, Weinheim, 1994, vol. 2, p. 741.

13. Ю. Б. Зефиров, *Кристаллография*, **42**, 936 (1997).
14. N. S. Zefirov, V. A. Palyulin, E. E. Dashevskaya, *J. Phys. Org. Chem.*, **3**, 147 (1990).
15. L. B. Heifets, in: *Drug Susceptibility in the Chemotherapy of Mycobacterial Infections*, L. B. Heifets (Ed.), CRC Press, Boca Raton, 1991, p. 89.
16. C. B. Inderleid, K. A. Nash, in: *Antibiotics in Laboratory Medicine*, V. Lorian (Ed.), Williams and Wilkins, Baltimore, 1996, p. 127.
17. A. Kutyrev, T. Kappe, *J. Heterocycl. Chem.*, **34**, 969 (1997).
18. G. M. Sheldrick, *SHELXTL PLUS. PC Version. A System of Computer Programs for the Determination of Crystal Structure from X-ray Diffraction Data*. Rev. 5.1 (1998).

Национальный фармацевтический университет,
Харьков 61002, Украина
e-mail: uiv@kharkov.ua

Поступило 30.11.2006